

Т. Береснева, С. Беляков, Э. Абеле\*, [Э. Лукевич]

МЕХАНИЗМ ОБРАЗОВАНИЯ 3-МЕТИЛПРОИЗВОДНЫХ  
ИМИДАЗО[2,1-*b*]ТИАЗОЛОВ И ИХ БЕНЗОАНАЛОГОВ В РЕАКЦИЯХ  
2-МЕРКАПТОИМИДАЗОЛА И 2-МЕРКАПТОБЕНЗИМИДАЗОЛА  
С 1,3-ДИХЛОРАЦЕТОНОМ В УСЛОВИЯХ МЕЖФАЗНОГО КАТАЛИЗА

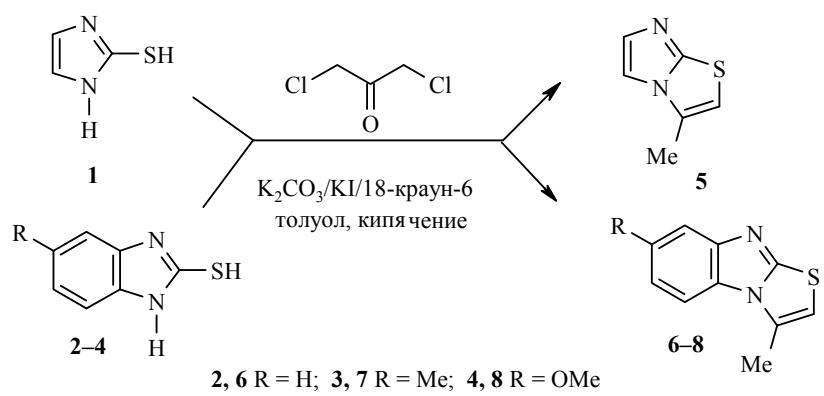
Исследован механизм неожиданного образования 3-метилпроизводных имидазо[2,1-*b*]тиазолов в системе 2-меркаптоимидазол—1,3-дихлорацетон—твёрдый  $K_2CO_3$ —твёрдый KI—18-краун-6—толуол. Структура 3-метил[1,3]тиазоло[3,2-*a*]-бензимида зола подтверждена данными РСА.

**Ключевые слова:** 3-метилпроизводные имидазо[2,1-*b*]тиазолов, межфазный катализ, РСА.

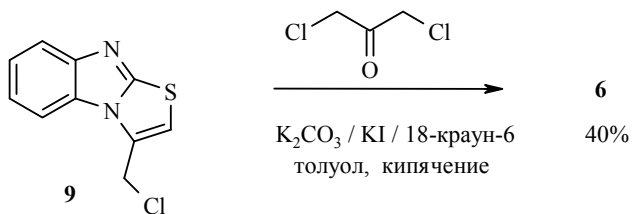
Имидазо[2,1-*b*]тиазолы обладают широким спектром биологической активности [1]. Основной метод синтеза 3-метилзамещённых имидазо[2,1-*b*]-тиазолов и 3-метил[1,3]тиазоло[3,2-*a*]бензимида золов основан на реакции производных 2-меркаптоимидазолов с хлорацетоном в этаноле [2] или щелочном этаноле [3]. 3-Метилбензо[4,5]имидазо[2,1-*b*]тиазолы получены также в результате реакции 2-меркаптобензимида золов с ацетоном в присутствии  $I_2$  [4] или  $H_2SO_4$ —AcOH [5]. Кроме того, 3-метил[1,3]тиазоло[3,2-*a*]бензимида зол получен в результате циклизации 2-пропаргилтиобензимида зола в системе  $Hg(OAc)_2$ — $H_2SO_4$ —уксусная кислота [6] или из 2-(2-бром-2-пропенилтио)бензимида зола в межфазно-катализитической (МФК) системе KOH—бензилтриэтиламмонийхлорид—ДМСО [7]. В литературе есть также сведения о деиодировании 3-иодметил-2,3-дигидро[1,3]тиазоло[3,2-*a*]бензимида зола до 3-метил[1,3]тиазоло[3,2-*a*]бензимида зола в щелочной среде [8].

При взаимодействии тиолов 1—4 с 1,3-дихлорацетоном в системе твёрдый  $K_2CO_3$ —твёрдый KI—18-краун-6—толуол единственными продуктами реакции вместо ожидаемых хлорметилпроизводных являются метилгетероциклы 5—8 — легкоплавкие кристаллические вещества (экспериментальная часть).

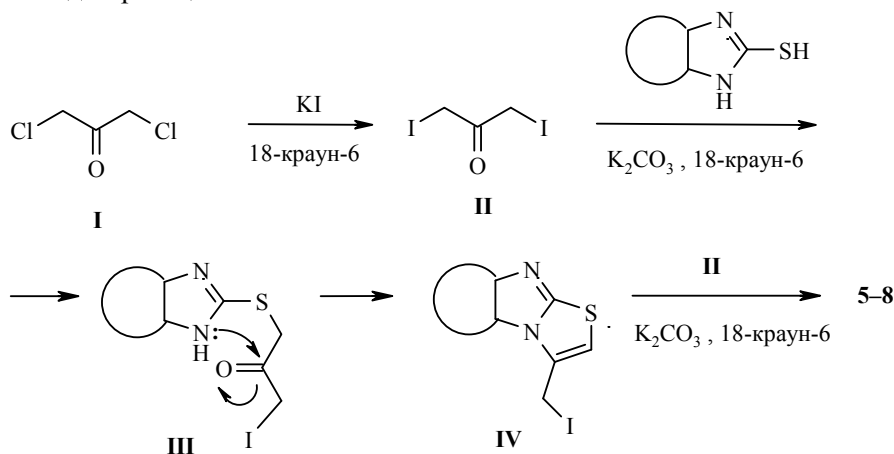
Для определения механизма образования соединений 5—8 мы провели несколько экспериментов. Во-первых, мы установили, что при кипячении 1,3-дихлорацетона с избытком твёрдого KI и твёрдого  $K_2CO_3$  наблюдается образование 1,3-диiodацетона. Реакции перехода галогенов от одной молекулы 1,3-дигалогенацетона к другой, т. е. образования полигалоген-ацетонов (так называемая реакция *halogen dance*), практически не происходит. Вследствие этого мы предполагаем, что первая стадия реакции происходит по обычному механизму и приводит к иодметилинтермедиату IV

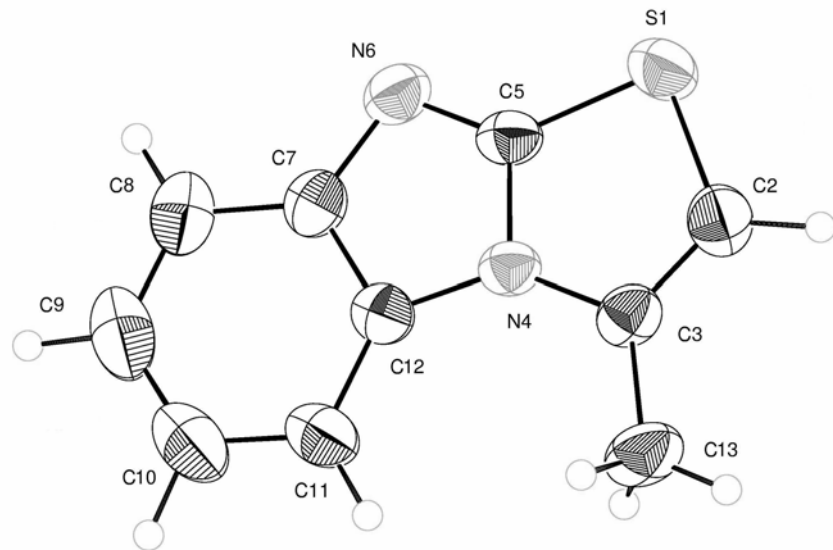


через S-алкилпроизводное III [9]. Однако доказательств механизма образования метилпроизводных 5–8 мы по-прежнему не имели, поэтому синтезировали 3-хлорметил[1,3]тиазоло[3,2-*a*]бензимидазол (9) по известной методике [10]. Далее с целью обнаружения продуктов дехлорирования провели реакцию соединения 9 в системе 1,3-дихлорацетон (1 экв.)–твёрдый  $\text{K}_2\text{CO}_3$  (4 экв.)–твёрдый KI (4 экв.)–18-краун-6 (10 моль. %)–толуол при 110 °C.



Действительно, после 24-часового кипячения реакционной смеси, по данным хромато-масс-спектрометрии, в реакционной смеси присутствовал 3-метил[1,3]тиазоло[3,2-*a*]бензимидазол (6) (40%), поэтому мы предполагаем, что деидорирование иодметилпроизводных IV происходит на последней стадии реакции.





Молекула 3-метил[1,3]тиазоло[3,2-*a*]бензимидазола (**6**) с обозначениями атомов и их эллипсоидами тепловых колебаний

С целью объективного установления строения соединения **6** был проведен РСА его кристаллов. Молекула соединения плоская в пределах ошибки. Длины связей S—C(2) и S—C(5) составляют 1.746(3) и 1.732(3) Å. Длины двойных связей C(2)=C(3) и C(5)=N(6) равны 1.336(4) и 1.307(3) Å. В целом, геометрические параметры молекулы близки к параметрам трёх других тиазолобензимидазолов, для которых установлена структура [11, 12]. В кристаллической структуре молекулы упаковываются на расстояниях не меньших, чем сумма ван-дер-ваальсовых радиусов контактирующих атомов.

## ЭКСПЕРИМЕНТАЛЬНАЯ ЧАСТЬ

Спектры ЯМР  $^1\text{H}$  регистрировали на спектрометре Varian 200 Mercury (200 МГц) в  $\text{CDCl}_3$ , внутренний стандарт ГМДС ( $\delta$  0.05 м. д.), масс-спектры – на хромато-масс-спектрометре GC-MS HP 6890 с энергией ионизирующих электронов 70 эВ.

2-Меркаптоимидазол (**1**), 2-меркаптобензимидазолы **2–4**, 1,3-дихлорацетон (96%) и 18-краун-6 (все AlfaAesar) использовали без дополнительной очистки.

**Синтез 3-метилимидазо[2,1-*b*]тиазола (**5**)** [13]. К суспензии 0.5 г (5 ммоль) 2-меркаптоимидазола **1**, 2.76 г (20 ммоль) твёрдого, хорошо измельчённого  $\text{K}_2\text{CO}_3$ , 3.34 г (20 ммоль) твёрдого KI и 0.13 г (0.5 ммоль) 18-крауна-6 в 30 мл толуола прибавляют 0.63 г (5 ммоль) 1,3-дихлорацетона. Реакционную смесь кипятят в течение 12 ч, отфильтровывают и растворитель упаривают при пониженном давлении. Продукт выделяют методом колоночной хроматографии на силикагеле, в качестве элюента используют смесь гексан–этилацетат, 1:1. Выход продукта **5** 0.08 г (12%). Спектр ЯМР  $^1\text{H}$ ,  $\delta$ , м. д.: 2.39 (3Н, с,  $\text{CH}_3$ ); 6.42 (1Н, с, H-2); 7.08 и 7.34 (2Н, два с, имидазольные протоны). Масс-спектр,  $m/z$  ( $I_{\text{опн}}$ , %): 138 [ $\text{M}^+$ ] (100), 93 (17), 71 (12).

**Кристаллографические характеристики соединения 6  
и параметры уточнения кристаллических структур**

Параметр	
Брутто-формула	C <sub>10</sub> H <sub>8</sub> N <sub>2</sub> S
Молекулярная масса	188.252
Форма кристалла	Призма
Размер кристалла, мм	0.12 × 0.17 × 0.28
Сингония	Моноклинная
Параметры кристаллической решетки:	
<i>a</i> , Å	7.0531(2)
<i>b</i> , Å	12.9645(4)
<i>c</i> , Å	9.9273(4)
β, град.	100.753(1)
Объем элементарной ячейки, <i>V</i> , Å <sup>3</sup>	891.81(5)
Пространственная группа	<i>P</i> 2 <sub>1</sub> /n
Число молекул в ячейке, <i>Z</i>	4
<i>F</i> (000)	392
Плотность вещества, ρ <sub>выч.</sub> , г/см <sup>3</sup>	1.402
Максимальный угол, 2θ <sub>max</sub> , град.	55.0
Интервалы индексов Миллера	-9≤ <i>h</i> ≤9 -16≤ <i>k</i> ≤15 -12≤ <i>l</i> ≤12
Коэффициент поглощения, μ, мм <sup>-1</sup>	0.31
Число рефлексов	
общее	3806
независимых	2124 ( <i>R</i> <sub>int</sub> = 0.026)
с <i>I</i> > 3σ( <i>I</i> )	1631
<i>R</i> -Фактор	0.046
<i>R</i> -Индексы по всем рефлексам ( <i>R</i> <sub>1</sub> , <i>wR</i> <sub>2</sub> )	0.063, 0.238
Число уточняемых параметров	118
GooF	0.970
Δρ <sub>max</sub>	0.44

**3-Метил[1,3]тиазоло[3,2-*a*]бензимидазол (6)** получают аналогично соединению 5. Время реакции 12 ч, выход 19%. Спектр ЯМР <sup>1</sup>H, δ, м. д.: 3.34 (3H, с, CH<sub>3</sub>); 6.86 (1H, с, H-2); 7.21–7.38, 7.66–7.70 и 7.95–7.99 (4H, все м, Ar). Масс-спектр, *m/z* (*I*<sub>отн.</sub>, %): 188 [M]<sup>+</sup> (100), 143 (23), 102 (16), 75 (7). Найдено, %: C 63.26; H 4.17; N 14.61. C<sub>10</sub>H<sub>8</sub>N<sub>2</sub>S. Вычислено, %: C 63.80; H 4.28; N 14.88.

**Моногидрат 3,7-диметил[1,3]тиазоло[3,2-*a*]бензимидазола (7)** получают аналогично соединению 5. Время реакции 25 ч, выход 1%. Спектр ЯМР <sup>1</sup>H, δ, м. д.: 2.50 и 2.71 (6H, два с, CH<sub>3</sub>); 6.30 (1H, с, H-2); 7.03–7.19 и 7.63–7.67 (2H, два м, H-5,6); 7.57 (1H, с, H-8). Масс-спектр, *m/z* (*I*<sub>отн.</sub>, %): 202 [M]<sup>+</sup> (100), 157 (7), 89 (8). Найдено, %: C 60.19; H 5.46; N 11.96. C<sub>11</sub>H<sub>12</sub>N<sub>2</sub>OS. Вычислено, %: C 59.97; H 5.49; N 12.72.

**Моногидрат 3-метил-7-метокси[1,3]тиазоло[3,2-*a*]бензимидазола (8)** получают аналогично соединению 5. Время реакции 11 ч, выход 8%. Спектр ЯМР <sup>1</sup>H, δ, м. д.: 2.69 и 3.88 (6H, два с, CH<sub>3</sub>); 6.31 (1H, с, H-2); 6.84–6.89 и 7.62–

7.67 (2H, два м, H-5,6); 7.25 (1H, с, H-8). Масс-спектр,  $m/z$  ( $I_{\text{отн.}}$ , %): 218 [ $\text{M}^+$ ] (100), 203 (39), 175 (71), 109 (7). Найдено, %: C 55.30; H 5.21; N 12.11.  $\text{C}_{11}\text{H}_{12}\text{N}_2\text{O}_2\text{S}$ . Вычислено, %: C 55.91; H 5.12; N 11.86.

**Рентгеноструктурный анализ соединения 6.** Дифракционная картина для соединения **6** получена на автоматическом рентгеновском дифрактометре Bruker–Nonius KappaCCD. Расшифровка кристаллической структуры проведена прямым методом и уточнена МНК в полноматричном анизотропном приближении для всех неводородных атомов с использованием комплекса программ *maXus* [14]. Положения атомов водорода локализованы на основе разностных синтезов Фурье электронной плотности и уточнены в изотропном приближении с использованием модели "наездника". Кристаллографические характеристики соединения **6** и параметры уточнения структуры даны в таблице.

Данные геометрической структуры соединения **6** депонированы в Кембриджском банке структурных данных (депонент CCDC 721277).

## С П И С О К Л И Т Е Р А Т У РЫ

1. T. Beresņeva, E. Ābele, I. Šestakova, E. Jaščenko, V. Bridane, I. Kalviņš, *Latv. ķīm. žurn.*, **133** (2009).
2. A. Н. Красовский, П. М. Кочергин, *XTC*, 321 (1969). [*Chem. Heterocycl. Comp.*, **5**, 243 (1969)].
3. S. Hayashibe, H. Itahana, M. Okada, A. Kohara, K. Maeno, K. Yahiro, I. Shimada, K. Tanabe, K. Negoro, T. Kamikubo, S. Sakamoto, PCT Int. Appl. WO Pat. 0059913 (2000); *Chem. Abstr.*, **133**, 281784 (2000).
4. V. K. Chadha, H. S. Chaudhary, H. K. Pujari, *Indian J. Chem.*, **7**, 769 (1969).
5. A. El-Wareth, A. O. Sarhan, H. A. H. El-Sherief, A. M. Mahmoud, *Tetrahedron*, **52**, 10485 (1996).
6. K. K. Balasubramanian, R. Nagarajan, *Synthesis*, 189 (1976).
7. И. И. Попов, *XTC*, 567 (1995). [*Chem. Heterocycl. Comp.*, **31**, 500 (1995)].
8. А. Д. Ким, В. В. Авдин, Л. В. Гаврилова, *XTC*, 1130 (1997). [*Chem. Heterocycl. Comp.*, **33**, 986 (1997)].
9. J. J. D'Amico, R. H. Campbell, E. C. Guinn, *J. Org. Chem.*, **29**, 865 (1964).
10. В. М. Дианов, С. В. Сибиряк, Р. Ф. Садыков, Ю. В. Стрекин, С. Ф. Хайбуллина, *Хим.-фарм. журн.*, **25**, 40 (1991).
11. S.-W. Park, W. Ried, W. Schuckmann, *Liebigs Ann. Chem.*, 106 (1977).
12. W. Schuckmann, H. Fuess, S. W. Park, W. Ried, *Acta Crystallogr.*, **35B**, 96 (1979).
13. И. А. Мазур, П. М. Кочергин, *XTC*, 512 (1970). [*Chem. Heterocycl. Comp.*, **6**, 474 (1970)].
14. S. Maskay, C. J. Gilmore, C. Edwards, N. Stewart, K. Shankland, *maXus. Computer Program for the Solution and Refinement of Crystal Structures*, Bruker Nonius, 1999, The Netherlands, MacScience, Japan, 1999.

Латвийский институт органического синтеза,  
Riga LV-1006, Латвия  
e-mail: abele@osi.lv

Поступило 12.12.2009  
После доработки 19.04.2010